Aplacado Teruel



Elementos técnicos

Referencia	MA34-AP02
Medidas	LARGO LIBRE X 20 X 10-8 CM
Color	OCRE - MARRÓN
Composición	PIEDRA CALIZA
Origen	TERUEL
Certificaciones	PIEDRA NATURAL DE ARAGÓN

Presentación producto

Unidad de venta	M2	**Cantidad/saco**	-
Peso	1600 - 1700 Kg/palet	**Cantidad/palet**	10 M2
Embalaje	Palet 100x100 cm	**Cantidad/big bag**	-
Disponibildad	según cantera	**Rendimiento**	-

Piedra natural

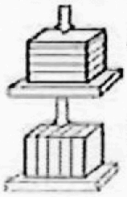
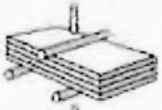
BRUC JARDI, SLU - B60995453
C-35, salida km 48 - Cal Adrià, S/N
08450 LLINARS DEL VALLÈS
www.brucjardi.com - +34 93 841 22 61

Piedra Teruel

Ensayos técnicos:

Descripción de Visu:

Macroscópicamente la roca tiene un aspecto laminado, de color variable entre gris oliva (Munsell: 5Y 4/1) y marrón anaranjado (Munsell: 10YR 6/3) y tamaño de grano fino-medio. El tamaño máximo de poro es de 2 mm y ocasionalmente presenta fósiles de hasta 0,6 mm. Las principales discontinuidades son laminaciones paralelas y laminación por disolución.

Resultados ensayos tecnológicos			Desviación Estándar	Coef. Variación	Anisotropía
Absorción		0,27%	0,058%	0,22	
Densidad aparente		2684kg/m³	5,16kg/m³	0,002	
Densidad real		2704kg/m³	2,40kg/m³	0,001	
Porosidad abierta		0,72%	0,154%	0,2	
Resistencia al deslizamiento		47	1,51	0,03	
Planeidad		5,08mm	1,33mm	0,26	
Resistencia a la compresión					
 A	**A**	80,4Mpa	59,12Mpa	0,23	
B	**B**	63,9Mpa	81,50Mpa	0,40	1,26
Resistencia a la flexión					
 A	**A**	25,81Mpa	7,93Mpa	0,31	
	B	5,20Mpa	3,46Mpa	0,67	
	C	26,20Mpa	7,45Mpa	0,28	1,10
 B	**Tras heladicidad A**	31,58Mpa	6,29Mpa	0,20	
	Tras heladicidad B	7,22Mpa	3,21Mpa	0,45	
 C	**Tras heladicidad C**	22,33Mpa	5,39Mpa	0,24	1,20
Resistencia al desgaste por abrasión					
A- estratificación perpendicular		19,5mm	1,80mm	0,09	
B- estratificación paralela		23,5mm	0,55mm	0,02	1,21

Análisis de la varianza

	Hipótesis nula	Comportamiento
Resistencia compresión	0,23	Isótropo
Resistencia flexión	5,9E-05	Anisótropo
Resistencia flexión tras heladicidad	2,5E-06	Anisótropo
Resistencia al desgaste por abrasión	0,0004	Anisótropo